

УДК 576.895.775

© 1992

НОВЫЙ ВИД БЛОХ РОДА СТЕНОПФТАЛМУС
(SIPHONAPTERA: HYSTRICHOPSYLLIDAE)

С.Г. Медведев, В.Э. Алифиренко

Описан новый вид блох сем. Hystrichopsyllidae — *Stenophthalmus (Euctenophthalmus) parthicus* sp.n. из Туркмении.

В подроде *Euctenophthalmus* рода *Stenophthalmus* известно 47 видов и 21 подвид. Виды подрода *Euctenophthalmus* распространены в Палеарктике, но при этом большая их часть встречается в восточной части Средиземноморской подобласти, Передней Азии и на севере Ирана. В настоящее время существует несколько классификаций подрода. По классификации Хопкинса и Ротшильд (Hopkins, Rothschild, 1966) в данном подроде выделяется 6 групп видов, среди которых наиболее крупная — *assimilis*. В пределах последней центральное место занимает вид *C.(E.)congener*, представленный, кроме номинативного, 10 подвидами. В предложенной позднее классификации Пойса (Peus, 1977) в подроде *Euctenophthalmus* выделено уже 9 групп видов, и из состава подрода выделена группа видов *gratus*. Подвидам *C.(E.)congener* Пойс придал статус самостоятельных видов, при этом номинативная форма рассматривалась в качестве группы видов *congener*, а остальные формы были объединены в группу *secundus*. Необходимо отметить, что и в отечественной литературе *C.(E.)congener secundus* считается самостоятельным видом, а не подвидом *C.(E.)congener* (Ростигаев, 1967; Тифлов и др., 1977). Авторы данной работы также полагают целесообразным рассматривать подвиды *C.(E.)congener* в качестве самостоятельных видов.

Новый вид подрода *Euctenophthalmus* обнаружен во время исследований, проведенных экспедициями лаборатории паразитологии Зоологического института РАН в Туркменистане в 1979 и 1991 гг. В частности, блохи нового вида были собраны с общественной полевки (*Microtus socialis Pallas*) в четырех пунктах, расположенных в горах Западного Копетдага на расстоянии 30—50 км друг от друга. Один из них находится у северного подножия горы Сюнт (урочище Дам-Дам), два других — в ущелье Ай-Дере, четвертый — близ горы Тогарев (ущелье Ореховое) (рис. 1). В 1979 г. сборы проводились в июне, в 1991 г. — в июле-августе. Стации в которых проводился отлов зверьков, представляют собой ущелья, покрытые зарослями кустарников, по дну которых протекают ручьи. Высота мест сборов — 1000—1500 м над ур.м.

Stenophthalmus (Euctenophthalmus) parthicus S.Medvedev et Alifirenko, sp.n.

Голотип: ♂ (препарат № 13 584 в коллекции ЗИН РАН), Туркмения, Западный Копетдаг, 55 км восточнее Кара-Кала, верховья ущелья Ай-Дере, *Microtus socialis*, ad ♀, 1.08.1991, сбор № 188 (С.Г.Медведев). Паратипы: 2♀ — те же данные, что и у голотипа, сборы № 187 и 188; 1♂ — Туркмения, Западный Копетдаг, 2 км севернее горы Сюнт, урочище Дам-Дам, *Microtus socialis*, ad, ♀, 25.07.1991, сбор № 55

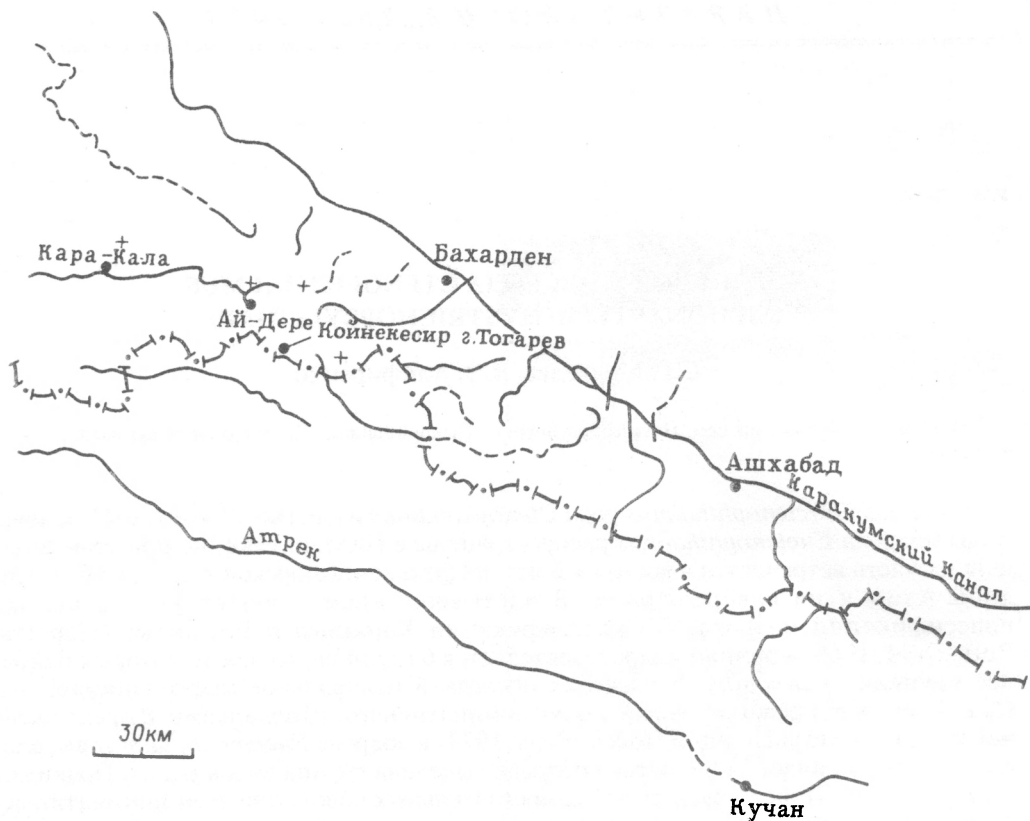


Рис. 1. Места сборов *Stenophthalmus (Euctenophthalmus) parthicus* sp.n. в Западном Копетдаге.

Fig. 1. The localities of the finding of *Stenophthalmus (Euctenophthalmus) parthicus* sp.n. in West Kopetdag.

(С.Г. Медведев); 1♀ — Туркмения, Западный Копетдаг, 21 км восточнее Койне-Кеси́ра, ущелье Ореховое, *Apodemus sylvaticus*, 4.08.1991, сборы № 256—266 (С.Г. Медведев); 1♂, 1♀ — Туркмения, Кара-Калинский р-н, Ай-Дере, *Microtus socialis* 17.06.1979, сбор 276а (С.Г. Медведев); 1♂ — там же, 14.06.1979, сбор № 261 (С.Г. Медведев).

Дифференциальный диагноз. Самцы *S.(E.)parthicus* отличаются от самцов других видов подрода следующими особенностями. Дигитоид ниже места его сочленения с телом клешни резко сужается, образуя узкий отросток, длина которого приблизительно равна высоте остальной части дигитоида. У дигитоида передний край прямой, передневерхний угол близок к прямому, верхний край в передней части приподнят, в задней части — с неглубокой выемкой, задневерхний угол срезанный, а задний край выпуклый. 7-й стернит самок характеризуется наличием развитой латеральной лопасти и широкой вентральной вырезки с едва намеченным субвентральным выступом, а также выраженным вентральным выступом. Место соединения 8-го тергита самки с его внутренней лопастью имеет вид склеротизованной дугообразной полосы. Задний край внутренней лопасти не склеротизован.

Описание. Длина головы (без затылочной камеры) больше ее высоты в 1.4 раза у самцов, в 1.3 раза — у самок. У самцов и самок длина передней части головы меньше длины ее задней части в среднем в 1.6 раза. Между первыми двумя зубцами ктенидия промежуток отсутствует. Щечная лопасть узкая (она немного шире зубца щечного

Таблица 1

Хетотаксия 1—7-го сегментов брюшка *Ctenophthalmus (Euctenophthalmus) parthicus* sp.n.
(Хетотаксию модифицированных сегментов см. рис. 2 и 3)

Chaetotaxy of the 1st—7th abdominal segments of *Ctenophthalmus (Euctenophthalmus) parthicus* sp.n.
(Chaetotaxy of modified segments es in Figs. 2 and 3)

Части сегментов	Тергиты и стерниты													
	I		II		III		IV		V		VI		VII	
	1-й	2-й	1-й	2-й	1-й	2-й	1-й	2-й	1-й	2-й	1-й	2-й	1-й	2-й
	Самец													
Тергиты	3, 12	10 ⁺	15	14 ⁺	10	14 ⁺	9	14 ⁺	10	14 ⁺	9	14 ⁺	8	12 ⁺
Стерниты			1	6	1	6	1	6	1	6	2	6	2, 6	6
	Самка													
Тергиты	4, 12	10 ⁺	13	14 ⁺	14	14 ⁺	10	14 ⁺	13	12 ⁺	10	12 ⁺	11	8 ⁺
Стерниты				2	5	9	5	9	5	8	4	9	2	8

Примечание. 1-й, 2-й — номера рядов щетинок на тергитах: 1-е ряды — дополнительные, 2-е — главные. Плюс после цифр — наличие вставочных щетинок. На 1-м тергите имеется два дополнительных ряда щетинок.

ктенидия), с округлой и плоской вершиной. Лоб у самцов низковыпуклый, у самок — крутой. Лобный зубчик слитный, т. е. он без внутренней полости, с утолщенной внутренней стенкой. Лобная стенка равномерно тонкая. Ветви тенториума развиты полностью. Глазной бокал частично редуцирован: имеется его наружная часть и внутренняя стенка, которая пигментирована. На голове имеется развитый префронтальный ряд из 5 щетинок длиной 40—100 мкм у самцов и 20—60 мкм у самок. Глазной ряд из 3 щетинок (60—140 мкм). Между двумя рядами крупных щетинок расположено от 4 до 10 мелких щетинок (10—20 мкм).

В задней части головы у самцов и самок в основном ряду 8 крупных щетинок (50—160 мкм), чередующихся с короткими вставочными. Теменные ряды представлены щетинками, расположенными на латеральной поверхности головы. Дорсальная стенка головы самца имеет теменную ямку, у самок на дорсальной стенке головы щетинки отсутствуют. В 1-м теменном ряду 2 щетинки (50, 120 мкм), во 2-м — 3 щетинки (30—130 мкм). На заднем крае усиковой ямки расположено 8—13 коротких щетинок (10—20 мкм). Нижнегубные пальпы почти достигают вершины коксы, максиллярные пальпы — ее середины.

На пронотуме имеется ряд из 10 крупных щетинок (70—90 мкм), нижняя из которых заметно длиннее остальных. Между крупными щетинками расположены вставочные. Ктенидий пронотума состоит из 15—18 зубцов, нижние из которых короче, чем верхние. На мезонотуме в основном ряду 11—12 щетинок (120—70 мкм), чередующихся со вставочными. Перед основным рядом расположены 4 ряда коротких (20—40 мкм) щетинок, первые два ряда выражены плохо. В первых двух рядах имеется приблизительно 40—50 щетинок, в 3-м — 10, в 4-м — 20 щетинок. Под воротничком мезонотума расположены псевдосеты: по одной — у задних нижних углов мезонотума и по 1—3 — ближе к дорсальному краю с каждой стороны. На мезоплевре находится 7 щетинок: 1 щетинка расположена у верхнего края мезоплевры (50—80 мкм), остальные — в виде двух рядов, состоящих из 3 щетинок (80—120 мкм).

Основной ряд на метанотуме состоит из 10 крупных щетинок (75—130 мкм), чередующихся с короткими вставочными. Перед основным рядом находится ряд из

¹ Длина щетинок указывается в последовательности снизу вверх и спереди назад.

Таблица 2

Хетотаксия ног *Ctenophthalmus (Euctenophthalmus) parthicus* sp.n.
Chaetotaxy of legs of *Ctenophthalmus (Euctenophthalmus) parthicus* sp.n.

	Щетинки передней ноги		Щетинки средней ноги		Щетинки задней ноги	
	количество	расположение	количество	расположение	количество	расположение
Коксы						
наружная поверхность	27—30	По всей поверхности	6,8	Вдоль переднего края	17+2	17 около переднего края, 2 у вершины
внутренняя поверхность	0		5	У основания	4	У основания
передний край	3—4+(2)	У вершины	3—4+(2—3)	У вершины	8—10+(2—3)	У вершины
задний край	3—4+1	3 у основания, 1 у вершины	0		0—3	
Бедро						
наружная поверхность	1,3+2	У вершины по заднему краю	2—3	У вершины у заднего края	3—6	У заднего края
внутренняя поверхность	1		0,1		0	
передний край (вентральный)	1—2+1	2 у основания, 1 у вершины	1—2+2	1 у основания, 2 у вершины	(0—2)+1—2+2+1	0—4 у основания, 3 у вершины
задний край (дорсальный)	4—10+1		10—11+2*		9—15+2*	
Голень						
наружная поверхность	5+1	5 — ряд вдоль заднего края, 1 у вершины	6+2		6+2	
внутренняя поверхность	0		0		0	
передний край (вентральный)	3+(2)	3 вдоль переднего края, 2 у вершины	4—7+(2)+(1—2)	4—7 вдоль переднего края, 3—4 у вершины	4—5+(2)+(2—3)	4—5 по краю, 4—5 у вершины
задний край (дорсальный)	2—4 пары+1+3 пары+(0—3)		2 пары+1+2 пары+(3)		2 пары+1+2 пары+1+(3)	

Примечание. Цифры в скобках — число сближенных щетинок. * — шипообразная щетинка.

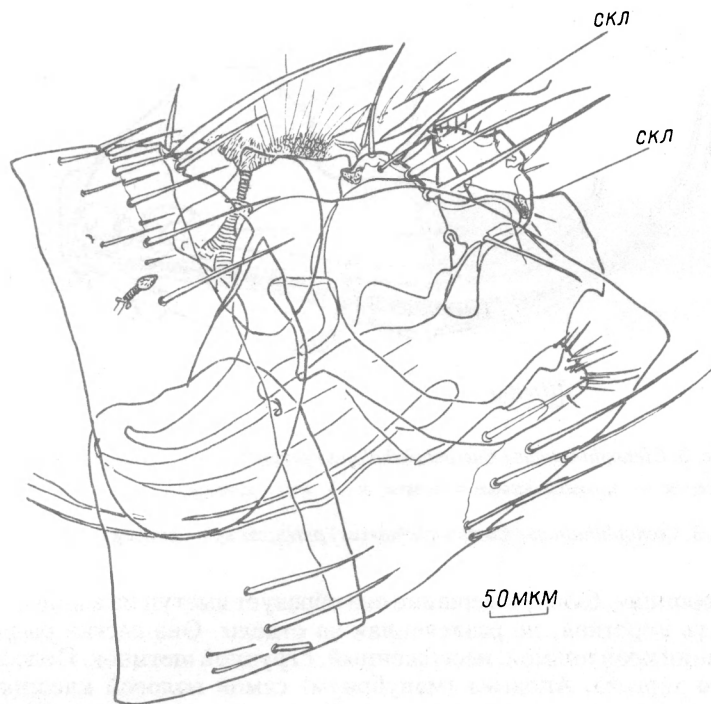


Рис. 2. *Stenophthalmus (Euctenophthalmus) parthicus* sp.n., самец, модифицированные сегменты брюшка, $\times 140$.
скл — склеротизация, усиливающая захват половой клешней самки.

Fig. 2. *Stenophthalmus (Euctenophthalmus) parthicus* sp.n., male, modified abdominal segments, $\times 140$.

10 щетинок (30—40) мкм. На боковой пластинке ногума имеется 2 щетинки (50—110 мкм). Около заднего края эпистерны располагается 1 щетинка (140 мкм у самок). На эпимере имеется 5 щетинок (70—130 мкм): 2 — в первом ряду и 3 — во втором. Хетотаксия брюшка — табл. 1.

Соотношение длин члеников передних лапок у самцов: 1.4:1.4:1.1:1:2.2, средних — 2.3:2.0:1.4:1:2.0, задних — 3.8:2.8:1.7:1:1.7. У самок соотношение длин члеников передних лапок — 1.4:1.4:1.3:1:2.3, средних — 2.3:2.0:1.4:1:2.3, задних — 4.0:2.8:1.7:1:1.6. Наиболее длинная щетинка на вершине голени передних ног достигает вершины 1-го членика лапки, на вершине средних ног — достигает середины 2-го членика лапки, на вершине задних ног — заходит за середину 1-го членика лапки (у самок щетинки средних и задних ног несколько короче, чем у самцов). Конец длинной щетинки на 2-м членике лапок задних ног у самцов и самок незначительно заходит за вершину 3-го членика. На 5-м членике лапок имеется 4 пары боковых щетинок и 1 подошвенная пара, располагающаяся между боковыми щетинками 1-й пары. Хетотаксия ног — табл. 2.

Самец (рис. 2). 7-й тергит с 3 крупными предпигидиальными щетинками (70—220 мкм). 8-й тергит небольшой, он прикрывает снаружи меньше половины половой клешни. 8-й стернит крупный, его верхний край почти достигает верхнего края половой клешни. На заднем крае 8-го стернита имеется глубокая узкая вырезка, нижние края образующихся при этом латеральных лопастей мелко зазубрены. Перед вентральной вырезкой на 8-м стерните расположены 3 ряда щетинок: в 1-м ряду имеется 6 щетинок, во 2-м и 3-м — по 4 щетинки. Вертикальная ветвь 9-го стернита

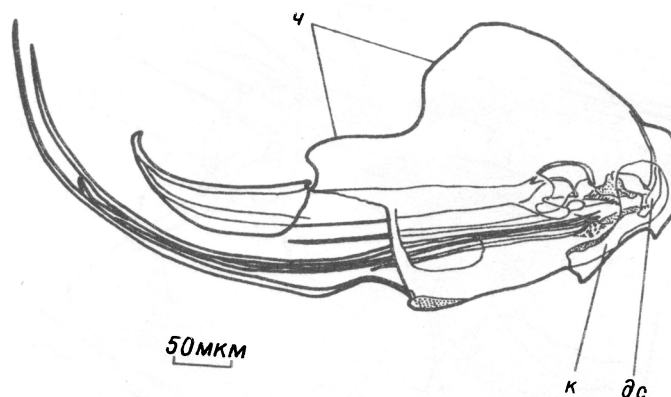


Рис. 3. *Ctenophthalmus (Euctenophthalmus) parthicus* sp.n., эдеагус, $\times 140$.

к — крючок эдеагуса; дс — дорсоапикальные склериты; ч — чехол эдеагуса.

Fig.3. *Ctenophthalmus (Euctenophthalmus) parthicus* sp.n., aedeagus, $\times 140$.

параллельносторонняя, ближе к вершине она образует выступ на заднем крае. Горизонтальная часть короткая, не разделенная на отделы. Она слегка расширяется к вершине, ее задний край прямой, нескошенный, с группой щетинок. Половая клешня с аподемой 9-го тергита. Аподема (манубриум) самой половой клешни сужается кпереди, ее вершина узкая, изогнута вверх. Неподвижный палец половой клешни имеет округлый верхний и прямой нижний края. Длина неподвижного пальца в 1.3 раза больше его ширины. Верхний край клешни образует широкий округлый выступ, отделенный от передней части клешни небольшим углублением. На дне этого углубления, с внутренней стороны имеются короткие склеротизованные гребни, которым соответствует склеротизация у переднего угла дигитоида.

Дигитоид по своей форме напоминает топор, т.е. имеет широкую верхнюю (инфраацетабулярную) часть и узкую (в виде отростка) нижнюю. Расстояние от мышелка дигитоида до его вершины в 1.2 раза больше расстояния от мышелка до нижнего края отростка. Высота верхней инфраацетабулярной части в 1.2 раза больше ее ширины. Передний край дигитоида прямой, верхний — скошенный кзади, с едва намеченной вырезкой посередине. Передневерхний угол дигитоида близок к прямому, задневерхний — срезанный. Задний край инфраацетабулярной части дигитоида слабо выпуклый. Чуть ниже передневерхнего угла на внешней поверхности дигитоида имеется небольшой склеротизованный бугор, служащий для усиления захвата 7-го стернита самки половой клешней. У самца данного вида имеется также второй склеротизованный бугорок у задненижнего угла верхней части дигитоида (рис.2).

Эдеагус (рис.3) с широковыпуклым чехлом. Передняя часть чехла² более узкая, чем задняя. Дорсальная стенка передней части чехла расположена параллельно аподеме эдеагуса. Задний выступ на нижнем крае чехла эдеагуса острый, передний — тупой. Внутренние выросты чехла, охватывающие с боков вершину внутренней трубки (дорсоапикальные склериты), длинные, узкие, их вершина имеет округлую форму. Крохеты мембранозные, со склеротизованным основанием.

Самка (рис.4). 7-й тергит с тремя предпигидиальными щетинками. 7-й стернит с сильно развитой латеральной лопастью, асимметричной формы. Верхний край лопасти угловатый, нижний прямой и короткий. На поверхности 7-го стернита с каждой

² Слова «кзади» и «кпереди» употребляются относительно направления соответственно к заднему и переднему концам тела блохи.

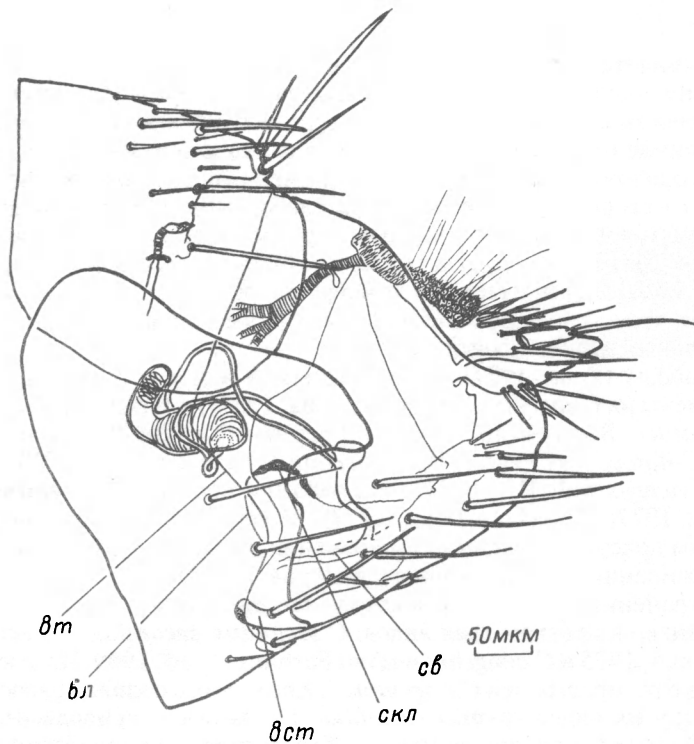


Рис. 4. *Stenophthalmus (Euctenophthalmus) parthicus* sp.n., самка, модифицированные сегменты брюшка, $\times 140$.
вл — внутренняя лопасть 8-го тергита; скл — склеротизованная полоса в месте соединения 8-го тергита и его внутренней лопасти; св — стенка влагалища; 8 ст — 8-й стернит; 8 т — 8-й тергит.

Fig. 4. *Stenophthalmus (Euctenophthalmus) parthicus* sp.n., female, modified abdominal segments, $\times 140$.

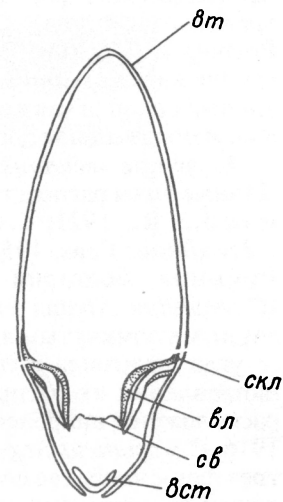


Рис. 5. *Stenophthalmus (Euctenophthalmus) parthicus* sp.n., самка, 8-й тергит и стернит брюшка сзади, схематизировано. Обозначения, как на рис. 4.

Fig. 5. *Stenophthalmus (Euctenophthalmus) parthicus* sp.n., female, 8-th tergite and sternite of abdomen, a view from behind, the scheme.

стороны имеется ряд из 4 крупных щетинок. Ниже латеральной лопасти имеется широкая субвентральная вырезка с небольшим, округлым, субвентральным выступом. Имеется едва намеченный вентральный непарный выступ. 8-й тергит крупный, его нижний край достигает нижнего края брюшка. В передненижнем углу 8-го тергита хорошо заметна дугообразная склеротизация. Склеротизация является местом прикрепления широкого лопастевидного выроста, расположенного параллельно внутренней стороне стернита (рис. 5). На 8-м тергите с каждой стороны имеется группа из 7 щетинок, расположенных в его нижней части. На внутренней поверхности 8-го тергита вблизи от заднего края имеется группа из 4—5 коротких щетинок. Стигма 8-го тергита широкая, U-образная, ее внутренняя поверхность густо покрыта псевдосетами. 8-й стернит представлен парными лопастями, с 2—3 мелкими щетинками. Передний край 8-го стернита склеротизован. 9-й стернит имеет форму округлой, расширяющейся книзу лопасти. Дорсальная стенка анального тергита прямая, анального стернита выпуклая. Длина анальных церок в 3 раза больше их ширины. Длина резервуара семяприемника немного меньше длины его придатка. Резервуар семяприемника слегка расширяется к основанию, его ширина в 2 раза меньше длины. Длина копулятивной сумки равна длине дорсальных зубцов пронотума.

ОБСУЖДЕНИЕ

Признаки *C. parthicus* свидетельствуют о том, что он принадлежит к выделенной Пойсом (Peus, 1977) группе видов *secundus* подрода *Euctenophthalmus*. На это указывают различные особенности строения дигитоида (параллельносторонняя инфраацетабулярная часть, наличие отростка, длина которого равна длине инфраацетабулярной части), форма горизонтальной ветви 9-го стернита (задний край прямой, нескошенный), форма 7-го стернита самки (наличие слабо выраженного субвентрального выступа). С точки зрения классификации, предложенной Хопкинсом и Ротшильд (Hopkins, Rothschild, 1966), *C. parthicus* может быть отнесен к обширной группе видов *assimilis*. *C. parthicus* выделяется в этой группе большей длиной лабиальных пальп, а также тем, что длина копулятивной сумки у самок этого вида равна, а не меньше длины дорсальных зубцов пронотума.

К группе *secundus* Пойсом (Peus, 1977) было отнесено 8 видов и 5 подвидов. Данные виды распространены на Сицилии (*C. geminus* Peus, 1959), в Италии (*C. savii savii* J. et R., 1921; *C. s. matilei* Beaucournu, 1976), в Греции (*C. troilus* Peus, 1954; *C. levadianus* Peus, 1958; *C. italoscopus* Peus, 1958; *C. secundus thracicus* Peus, 1978), в Румынии, Болгарии (*C. vicarus* J. et R., 1921), на южном побережье Турции (*C. secundus iubatus* Peus, 1977; *C. s. cilicus* Peus, 1977). Интересно отметить, что данным упомянутым видам присуща тенденция уменьшения размеров верхнезаднего угла дигитоида и сглаживания субвентрального выступа 7-го стернита самок в направлении их распространения от запада к востоку. Места находок *C. parthicus* расположены наиболее близко к ареалам трех видов: *C. secundus secundus* Wagner, 1916, *C. s. asiaticus* Argurovulo, 1935 и *C. congener nadimi* Farhang-Azad, 1969. Из этих трех форм наиболее широко распространен *C. s. secundus*. Ареал этого подвида расположен севернее ареалов других видов группы *secundus*. По данным, приводимым Тифловым и др. (1977), *C. secundus* распространен от Херсонской, Закарпатской и Тамбовской обл. на западе, до Уральской обл. на востоке. При этом он обнаружен в предгорьях и горных долинах Западного Копетдага, в Крыму, в Предкавказье, равнинной и предгорной частях Дагестана. Имеются указания на находки *C. secundus* в Западном Копетдаге (Загнибородова, 1961), но подвидовой статус обнаруженных здесь форм не указывался.

Другой подвид, *C. s. asiaticus*, обнаружен в Восточном Закавказье, а также найден в ряде мест Турции и Ливана (Тифлов и др., 1977). От *C. (E.) secundus secundus* и *C. (E.) s. asiaticus* новый вид отличается прежде всего формой дигитоида, а также тем, что задний край 8-го тергита самок у *C. (E.) parthicus* не склеротизован. Кроме того, наиболее восточная находка *C. (E.) s. secundus* приурочена к Уральской обл. Казахстана, т.е. она значительно удалена от мест находок *C. (E.) parthicus* в Туркмении. Интересно отметить то, что ареал общественной полевки простирается до Центрального и Восточного Казахстана (Каталог млекопитающих СССР, 1981), однако сведения о сборах *C. (E.) s. secundus* на этом виде хозяина в настоящее время отсутствуют.

На наш взгляд, к *C. parthicus* наиболее близок подвид *C. congener nadimi*, описанный Фарханг-Азадом (Farhang-Azad, 1969) из Ирана (Ази-Болагх, 28 км северо-западнее Кучана). Форма, описанная Фарханг-Азадом, обнаружена в 150—200 км юго-восточнее района мест сбора *C. parthicus*. Общими признаками *C. congener nadimi* и *C. parthicus* является наличие у дигитоида прямого переднего края и параллельносторонней инфраацетабулярной части. Кроме того, дигитоид у данных видов не имеет развитого верхнезаднего угла. У данных двух видов также имеется развитый вентральный выступ на 7-м стерните самки. Отличия *C. congener nadimi* от *C. parthicus* касаются также формы дигитоида. В частности, у *C. parthicus* задневерхний угол срезанный, а задний край — округлый. Распространение общественной полевки также свидетельствует о том, что *C. parthicus* ближе к переднеазиатским формам, чем *C. s. secundus*. Ареал общественной полевки указывает на то, что этот вид грызунов проник в Западный Копетдаг через север Ирана.

К сожалению, признаки *C. congener nadimi* указаны недостаточно, что не позволяет глубже оценить степень близости этих форм. Вероятно, статус подвида *C. congener nadimi* необходимо повысить до видового. В дальнейшем не исключена возможность того, что *C. parthicus* окажется подвигом *C. nadimi*, т.е. эти формы являются подвидами одного вида, паразитирующего на общественной полевке в горах Эльбурса и Копетдага.

Список литературы

- Загнибородова Е. Н. Блохи Западной Туркмении и их роль в эпизоотологии чумы: Автореф. дис. ... канд. биол. наук. Ашхабад, 1961. 18 с.
- Каталог млекопитающих СССР. Л.: Наука, 1981. 456 с.
- Ростигаев Б. А. Блохи ряда *Ctenophthalmus* Kol. фауны СССР: Автореф. дис. ... канд. биол. наук. Ставрополь, 1977. 278 с.
- Тифлов В. Е., Скалон О. И., Ростигаев Б. А. Определитель блох Кавказа. Ставрополь, 1977. 278 с.
- Farhang-Azad A. The flea fauna of Iran. 6. — A new flea of the genus *Ctenophthalmus* Kolenati, 1815 from Khorasan Ostan // Bull. soc. Parh. exot. 1969. Vol. 62, N 3. P. 614—617.
- Hopkins G. H. E., Rothschild M. An illustrated catalogue of the Rothschild collection of fleas (Siphonaptera) in the British Museum (Natural History). Vol. 4. London. 549 p.
- Peus P. Flöhe aus Anatolien und anderen Ländern der Nahen Ostens // Abh. zool.-bot. Ges. Wien. 1977. Bd 20. S. 1—111.

ЗИН РАН, Санкт-Петербург

Поступила 27.02.1992

A NEW SPECIES OF FLEAS OF THE GENUS CTENOPHTHALMUS (SIPHONAPTERA, HYSTRICHOPSYLLIDAE)

S. G. Medvedev, V. E. Alifirenko

Key words: *Ctenophthalmus parthicus* sp. n., the subgenus *Euctenophthalmus*, Siphonaptera, Hystrichopsyllidae

SUMMARY

A new species, *Ctenophthalmus (Euctenophthalmus) parthicus* sp. n., is described from social vole (*Microtus socialis* Pallas) from four localities of the West Kopetdag Mountains of Turkmenia. The new species is close to *C. (E.) secundus* Wagner and *C. (E.) congener nadimi* Farhang-Azad. It differs from males of the other known species by the following characters. The movable process has an infra-acetabular process whose length is the same as the height of its supra-acetabular portion. The movable process has the straight front margin, right anterior apical angle. The anterior part of the dorsal margin of the movable process is elevated, the hind part is slightly concave. The posterior apical angle of the movable process is cut. The hind margin of the movable process is convex. The apex of the distal arm of sternum IX is straight, not oblique. The female differs by the following peculiarities. Sternum VII has a well developed dorsal lobe below which there is a smaller rounded lobe and a distinct small ventral process. Unciform sclerotization of tergum VIII (or the place of connection between tergum VIII and its internal lobe) resembles an arc. The front margin of the internal lobe of tergum VIII is not sclerotized. The bursa copulatrix is as long as the dorsal spines of pronotum.